

## II-163 円形暗きよにより淡水を注入した場合の淡塩界面の解析

九州大学工学部 正員 工田年比古

" " 杉尾 哲

学生員。神野 健二

### 1. まえがき

本報は、塩水で飽和された均一な透水係数の半無限領域に、円形暗きよを設けて淡水を注入したときの流れの様子を解析したものである。Darcyの法則が成立する範囲で淡水を注入してゆくと、塩水との境界面、すなわち淡塩界面は時間の経過とともに、淡水によって押し下げられ、ついには一定の位置で定常状態となる。解析は、2の定常状態に達したときの淡塩界面、および淡水部分の複素ポテンシャルを求めたものである。淡塩界面をZhoukovsky関数で直線化し、日平面に写像し、この日平面をSchwarz-Christoffel変換を用いてP平面に写像し、最終的には、2の平面の偏角を $\frac{1}{2}$ に下ろして、複素ポテンシャルが既に判っている平面に写像している。したがって、各平面間の関係式、すなわち写像関数から、最初の領域Z平面と、複素ポテンシャルが既知のP平面との対応がつき、解が得られることになる。

### 2. Zhoukovsky関数

領域は、図-1に示すように、地表面から $d$ の深さのところに、半径 $r$ の円形暗きよを埋設し、 $\Delta H$ の水頭を与えて、淡水を注入している。座標軸は、E点を原点、上向きにy軸、右向きにx軸とし、これを。図中の記号は、

$\gamma_f$ : 淡水の単位体積重量

$\gamma_s$ : 塩水の単位体積重量

$q$ : 淡水の注入量  $k$ : 透水係数

$d$ : 暗きよ埋設深さ  $r$ : 暗きよ半径

$\Delta H$ : 水頭差

淡塩界面について考えると、境界面上任意点の圧力が、

$$P_s = -\gamma_s y_s \quad (1)$$

を与えられる。また、Darcyの法則と、非回転運動であることから、速度ポテンシャルが存在し、 $\Psi = k(P/\gamma_f + y) \quad (2)$

が、淡水部分の流れについて成立する。淡塩界面上では、 $y = y_s$ とすると(2)から

$$\Psi_s = k(P_s/\gamma_f + y_s), \text{したがって}, (1) \&$$

この式に代入すれば、

$$\Psi_s = k(-\gamma_s y_s/\gamma_f + y_s) = -k[(\gamma_s - \gamma_f)/\gamma_f] \cdot y_s$$

$\gamma_s > \gamma_f$ 、 $(\gamma_s - \gamma_f)/\gamma_f = \varepsilon$ とおくと、

$$\Psi_s = -k\varepsilon y_s, \text{または}, \Psi_s + k\varepsilon y_s = 0$$

$$\theta_1 = \Psi + k\varepsilon y \quad (3)$$

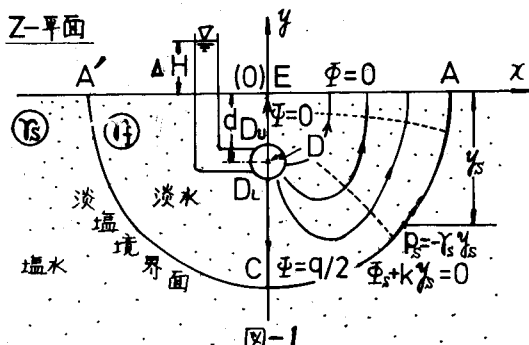


図-1

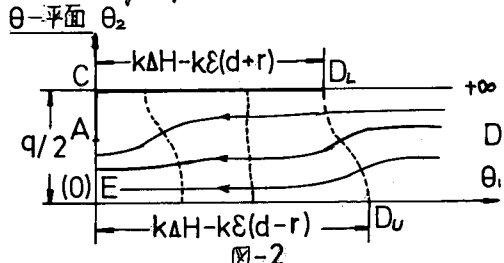


図-2

とこの関数を定義すれば、淡塩界面面上では、 $\theta_{1s} = \Phi_s + kE y_s = 0$ となり、一定値となる。 $\theta_1$ の共役関数 $\theta_2$ を次のように定義する。

$$\theta_2 = \bar{\Phi} - kEx \quad (4), \quad \bar{\Phi} \text{は流れ関数である。}$$

(4)と(5)から、

$$\theta = \theta_1 + i\theta_2 = \bar{\Phi} + i\bar{\Phi} - i kE(x+iy) = \bar{W} - i kEZ \quad (5) : Zhukovsky 関数$$

$\theta$ は、 $\theta_1, \theta_2$ がともに Laplace の方程式を満たすから、正則な関数である。この Zhukovsky 関数を用い、図-1の $\bar{z}$ 平面を、図-2の $\theta$ 平面に写像することができる。 $\bar{z}$ 平面と $\theta$ 平面の各点の対応を下の表-1に示してある。

表-1	地表面 (EA')	淡塩界面 (CA)	暗赤中心線上 (EC)		暗赤字	
			流出点より上方 (ED)	流出点より下方 (DC)	周壁上端点 (D_U)	周壁下端点 (D_L)
$\bar{z}$ 平面	$x, y=0$	$x, y_s$	$x=0, y$	$x=0, y$	$x=0, y=-d+r$	$x=0, y=-d-r$
$W$ 平面	$\bar{\Phi}=0, \bar{\Psi}$	$\bar{\Phi}, \bar{\Psi}=\frac{q}{2}$	$\bar{\Phi}=0, \bar{\Psi}=0$	$\bar{\Phi}, \bar{\Psi}=\frac{q}{2}$	$\bar{\Phi}=kAH, \bar{\Psi}=0$	$\bar{\Phi}=kAH, \bar{\Psi}=\frac{q}{2}$
$\theta$ 平面	$\theta=0, \theta_s=\Psi$	$\theta_r=0, \theta_s=\frac{q}{2}-kEx$	$\theta_1, \theta_2=0$	$\theta_1, \theta_2=\frac{q}{2}$	$\theta_1=kAH-kEZ, \theta_2=0$	$\theta_1=kAH-kEZ(d+r), \theta_2=q/2$

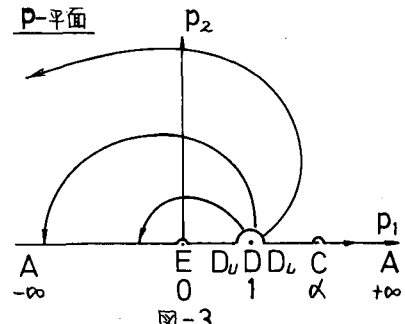
### 3. Schwarz-Christoffel 変換

図-2の帯状に長い長方形領域 $EDUDC$ を半平面 $P$ 平面に写像する。 $\theta$ 平面上の各点を $P$ 平面上には、図-3のようにみると、Schwarz-Christoffel の変換式は、次のようになる。

$$\theta = M \int \frac{dp}{\sqrt{P(P-\alpha)(P-1)}} + C \quad (6)$$

$\alpha$ は、 $\alpha > 1$ なる定数、 $M, C$ は複素定数である。図-3の $P$ 平面を、図-4の $t$ 平面に写像するには、 $t = \sqrt{P}$ とおけばよい。このとき、(6)は、

$$\theta = M \int \frac{2dt}{\sqrt{t^2-\alpha(t^2-1)}} + C \quad (7)$$



積分して

$$\theta = -\frac{iM}{\sqrt{\alpha-1}} \ln \frac{\sqrt{t^2-\alpha} - it\sqrt{\alpha-1}}{\sqrt{t^2-\alpha} + it\sqrt{\alpha-1}} + C \quad (8)$$

で、 $M = M_1 + iM_2, C = C_1 + iC_2, \theta = \theta_1 + i\theta_2, t = t_1 + i t_2$ とし、(8)を実部、虚部に分解すると、

$$\theta_1 = \frac{M_2}{2\sqrt{\alpha-1}} \ln \frac{(A-t_1\sqrt{\alpha-1})^2 + (B+t_1\sqrt{\alpha-1})^2}{(A+t_1\sqrt{\alpha-1})^2 + (B-t_1\sqrt{\alpha-1})^2} + \frac{M_1}{\sqrt{\alpha-1}} \tan^{-1} \frac{2\sqrt{\alpha-1}(At_1+Bt_2)}{A^2+B^2-(\alpha-1)(t_1^2+t_2^2)} + C_1 \quad (9)$$

$$\theta_2 = \frac{-M_1}{2\sqrt{\alpha-1}} \ln \frac{(A-t_1\sqrt{\alpha-1})^2 + (B+t_1\sqrt{\alpha-1})^2}{(A+t_1\sqrt{\alpha-1})^2 + (B-t_1\sqrt{\alpha-1})^2} - \frac{M_2}{\sqrt{\alpha-1}} \tan^{-1} \frac{2\sqrt{\alpha-1}(At_1+Bt_2)}{A^2+B^2-(\alpha-1)(t_1^2+t_2^2)} + C_2 \quad (10)$$

ただし

$$A = \sqrt{\frac{t_1^2 - t_2^2 - \alpha + \sqrt{(t_1^2 - t_2^2 - \alpha)^2 + 4t_1^2 t_2^2}}{2}}$$

$$B = \sqrt{\frac{-(t_1^2 - t_2^2 - \alpha + \sqrt{(t_1^2 - t_2^2 - \alpha)^2 + 4t_1^2 t_2^2}}{2}}$$

次に、 $D$ 点、 $E$ 点、 $C$ 点の各点の直角から、 $M_1, M_2, C_1, C_2$ の値を定めよ。

[D]  $t_1 = 1, t_2 = 0$  であるから, (10)において,

$$\theta_2 \neq 00 \text{ となるためには, } M_1 = 0$$

[E]  $t_1 = t_2 = 0, \theta_1 = \theta_2 = 0$  であるから, (9),

$$(11) \text{ から } C_1 = C_2 = 0$$

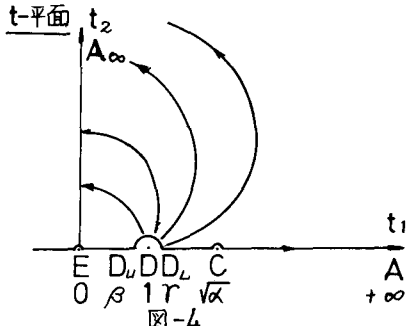
[C]  $t_1 = \sqrt{\alpha}, t_2 = 0, \theta_1 = 0, \theta_2 = \pi/2,$

$$\therefore -M_2/\sqrt{\alpha-1} = \pi/2\pi$$

したがって, (9), (10)は, 次のようになる。

$$\theta_1 = \frac{\pi}{4\pi} \ln \frac{(A-t_1\sqrt{\alpha-1})^2 + (B+t_1\sqrt{\alpha-1})^2}{(A+t_2\sqrt{\alpha-1})^2 + (B-t_1\sqrt{\alpha-1})^2} \quad (11)$$

$$\theta_2 = \frac{\pi}{2\pi} \tan^{-1} \frac{-z\sqrt{\alpha-1}(At_1 + Bt_2)}{A^2 + B^2 - (\alpha-1)(t_1^2 + t_2^2)} \quad (12)$$



#### 4. 解析

図-4 の  $t$  平面では、複素ボテンシャル  $\bar{W}$  は既知で、 $\bar{W} = \mu \ln \frac{t+1}{t-1} + \mu'$  で与えられる。

$\bar{W} = \Phi + i\psi$  として、実部と虚部とに分け、 $\mu, \mu'$  の値を定めると、

$$\Phi = \frac{\pi}{4\pi} \ln \frac{(t_1+1)^2 + t_2^2}{(t_1-1)^2 + t_2^2} \quad (13) \quad \Psi = \frac{\pi}{2\pi} \tan^{-1} \frac{-zt_2}{t_1^2 + t_2^2 - 1} \quad (14)$$

一方、(3), (4)に、(11), (12)を代入すると、

$$\Phi = \frac{\pi}{4\pi} \ln \frac{(A-t_2\sqrt{\alpha-1})^2 + (B+t_1\sqrt{\alpha-1})^2}{(A+t_2\sqrt{\alpha-1})^2 + (B-t_1\sqrt{\alpha-1})^2} - K\epsilon y \quad (15) \quad \Psi = \frac{\pi}{2\pi} \tan^{-1} \frac{-z\sqrt{\alpha-1}(At_1 + Bt_2)}{A^2 + B^2 - (\alpha-1)(t_1^2 + t_2^2)} + K\epsilon x \quad (16)$$

(したがって、(3), (4)と、(15), (16)とから、 $z$  平面と  $t$  平面とが、 $\bar{W}$  平面を媒介として対応がつけられることになり、解が求まつたことになる。すなはち、各處の境界条件を満足し、未知定数  $\alpha, \beta, \sigma, \tau, \theta$  の値を定める。)

[D]  $t_1 = \beta, t_2 = 0, \Phi = K\epsilon H$  であるから、(3)から  $K\epsilon H = \frac{\pi}{4\pi} \ln \frac{(\beta+1)^2}{(\beta-1)^2} \quad (17)$

$$y = -(d-r), A = 0, B = \sqrt{\alpha^2 - \beta^2} \quad \text{& (15)を代入すると、}$$

$$K\epsilon H = \frac{\pi}{4\pi} \ln \frac{(\sqrt{\alpha^2 - \beta^2} + B\sqrt{d-r})^2}{(\sqrt{\alpha^2 - \beta^2} - B\sqrt{d-r})^2} + K\epsilon(d-r) \quad (18)$$

[D]  $t_1 = r, t_2 = 0, \Phi = K\epsilon H$  であるから、(3)より

$$K\epsilon H = \frac{\pi}{4\pi} \ln \frac{(r+1)^2}{(r-1)^2} \quad (19)$$

このとき、(17)と(19)とから、 $\beta < 1, r > 1$  を考慮して、 $r = \frac{1}{\beta} \quad (20)$

また、 $y = -(d+r), A = 0, B = \sqrt{\alpha^2 - 1}/\beta \quad \& (15)を代入すれば、$

$$K\epsilon H = \frac{\pi}{4\pi} \ln \frac{(\sqrt{\alpha^2 - 1}/\beta + \sqrt{d-1}/\beta)^2}{(\sqrt{\alpha^2 - 1}/\beta - \sqrt{d-1}/\beta)^2} + K\epsilon(d+r) \quad (21)$$

(17)より、 $\frac{\pi}{4\pi} = \frac{K\epsilon H}{\ln \frac{(\beta+1)^2}{(\beta-1)^2}}$  これを、(18), (19)を代入すると、

$$\frac{1+\beta}{1-\beta} = \left( \frac{\sqrt{\alpha^2 - \beta^2} + B\sqrt{d-r}}{\sqrt{\alpha^2 - \beta^2} - B\sqrt{d-r}} \right)^{1/(1 - \frac{K\epsilon(d-r)}{K\epsilon H})} \quad (22)$$

および、

$$\frac{\sqrt{d-1} + \sqrt{d\beta^2 + 1}}{\sqrt{d-1} - \sqrt{d\beta^2 - 1}} = \left( \frac{1+\beta}{1-\beta} \right) \left\{ 1 - \frac{KE(d+r)}{KAH} \right\} \quad (23)$$

$$d = r, (23) = F \text{ とおくと}, (23) \text{から } d = \frac{4F(1-\beta^2)}{4\beta^2 - [F(1-\beta^2) - (1+\beta^2)]^2} \quad (24)$$

同様に (22) = G とおくと, (22) から

$$\beta = \frac{G-1}{G+1} \quad (25)$$

d, r, A, H, E の値を与えると, (24), (25) を使つて反復計算はさう, d, β の値が得られる。

$$(17) \text{から } \frac{g}{KAH} = \frac{2\pi}{\ln \{(\beta+1)/(\beta-1)\}} \quad (26)$$

上で得られた β を用いりると, (26) から g が求められる。淡塩境界面の形状については、図-4 から,  $t_1 \geq \sqrt{d}$ ,  $t_2 = 0$ ,  $A = \sqrt{t_1^2 - d}$ ,  $B = 0$ ,  $\psi \approx 12, 03$ , より (4) から

$$\Phi = \frac{g}{2\pi} \ln \frac{t_1 + 1}{t_1 - 1}, \quad \Psi = \theta/2$$

これら, (15), (16) 代入すれば、淡塩境界面の式が得られる。

$$x_s = \frac{1}{KE} \left\{ \frac{g}{2} - \frac{g}{2\pi} \tan^{-1} \frac{2\sqrt{d-1} \cdot \sqrt{t_1^2 - d} \cdot t_1}{(t_1^2 - d) - (d-1)t_1^2} \right\} \quad (27)$$

$$y_s = \frac{-g}{2\pi KE} \ln \frac{t_1 + 1}{t_1 - 1} \quad (28)$$

## 5. 計算結果および実験結果

図-5 に,  $AH/d = 0.15$ ,  $r/d = 0.1$  の場合の淡塩境界面について, (27), (28) の理論淡塩境界面と, 実験による境界面とを示してある。実験は、前面アクリラリト板の水槽は、過マンガン酸カリウムで着色した塩水で砂を飽和させ、半径 2 cm の暗室よりから淡水を注入した。理設深さは 20 cm、水頭差は 3 cm とした。この実験では、水槽底面の影響の結果、淡塩境界面が、計算による境界面よりも上方になつてある。また、 $x = x_s, y = 0$  では、淡水と塩水との混合があまり、幾分、横方向に広がつてある。

なお、本研究は、文部省科学研究費の補助を受けた。2 = 12 記して、謝意を表す。

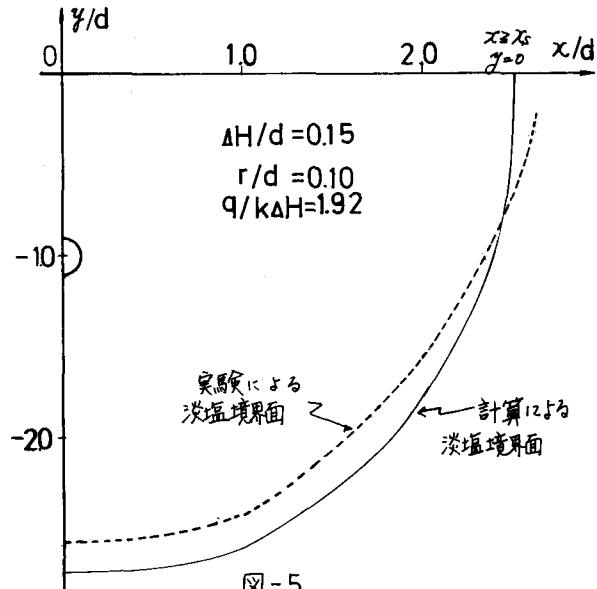


図-5